

顶色辅助的多标度人工色理论对稀有过程 $e^+e^- \rightarrow \bar{b}s$ 的单圈效应*

鲁公儒 岳崇兴 李卫彬¹⁾ 孙俊峰¹⁾

(河南师范大学物理与信息工程学院 新乡 453002)

摘要 讨论了顶色辅助的多标度人工色理论预言的赝标哥尔斯通玻色子(technipions, top-pions)对稀有过程 $e^+e^- \rightarrow \bar{b}s$ 的单圈效应, 计算了该过程在 LEP II 上的产生截面, 得到较标准模型预言值要大一个数量级的数值结果. 并进一步讨论了在 B 介子工厂上探测此稀有过程的可能性.

关键词 顶色 人工色理论 产生截面 单圈效应

1 引言

为了解决传统人工色(TC)理论的缺点, 人们提出了顶色辅助的人工色理论(TC2)^[1], 此理论是解决电弱对称性破缺机制的候选者之一, 是人们较感兴趣的一种新物理理论. 因此, 在 TC2 理论框架下, 研究各种物理过程并与实验比较, 是一件很有必要的工作. 和传统的 TC 理论一样, TC2 理论预言了一些赝标哥尔斯通玻色子(PGBs), 包括传递 TC 相互作用的 TC 介子(technipions)和传递顶色相互作用的 Top 介子(top-pions), 这些粒子对一些可观测量会产生有意义的贡献.

在标准模型(SM)中, 由于 GIM 机制很强的压低, 味改变的稀有物理过程发生几率太小而不能被实验上所探测到. 若非标准模型对此稀有过程能产生较大的修正, 则可由此检验非标准模型的正确性. 有文章^[2]已经计算了在 e^+e^- 对撞机 LEP II 上, SM 对稀有过程 $e^+e^- \rightarrow \bar{b}s$ 的产生截面, 其理论结果是 10^{-3} fb 的量级, 这显然是实验上无法观测到的. 本文针对这一稀有过程的产生截面用顶色辅助的多标度人工色(TOPCMTC)模型进行了计算, 看是否理论结果比 SM 的有所提高, 以便和实验相比来检验此模型.

1999-08-16 收稿, 1999-11-04 收修改稿

* 国家自然科学基金和河南省杰出青年基金资助

1) E-mail: dphnu@pbulic.zz.ha.cn

2 TOPCMTC 模型对稀有过程 $e^+e^- \rightarrow \bar{b}s$ 产生截面的单圈贡献

TOPCMTC 模型是在 1TeV 能标下, 将多标度人工色理论^[3]与顶色相结合组成的一类 TC2 模型. 在此模型中, ETC 相互作用给所有的普通轻子和夸克以质量, 但是对第三代夸克质量, 尤其是顶夸克贡献很小, $m'_t = \epsilon \cdot m_t$ ($0.03 \leq \epsilon \leq 0.1$), 顶夸克质量主要由顶色相互作用产生. TC 相互作用负责电弱规范对称性的破缺. TC 介子的衰变常数是 $F_T = 40\text{GeV}$, 而 top 介子 Π_t^0, Π_t^+ 的衰变常数是 $F_{\Pi_t} = 50\text{GeV}^{[1]}$.

稀有过程 $e^+e^- \rightarrow \bar{b}s$ 的产生可以通过 PGBs 和普通费米子间味改变的强相互作用形式进行, 即 $u_i \bar{d}_j \Pi^+$ 和 $u_i \bar{d}_j \Pi_a^+$ (其中 Π^+, Π_a^+ 分别表示色单态和色八重态的 TC 介子或 Top 介子). 首先, 考虑 TOPCMTC 模型的色八重态 TC 介子对此过程的单圈效应, 其中荷电色八重态的 TC 介子和普通费米子间耦和形式为^[4]:

$$\frac{i\sqrt{6} V_{u_i d_j}}{F_T} \Pi_a^+ \bar{u}_i (m'_{u_i} L - m'_{d_j} R) d_j, \quad (1)$$

其中 \bar{u}_i, d_j 分别表示同位旋为正、负的夸克, 相应的费曼图如图 1 所示.

计算过程中采用质壳重整化条件, 利用维数正规化方案来抵消所有的圈图效应中出现的紫外发散^[5]. 有效顶角形式是:

$$V_Z^u = ie [F_{1Z} \gamma^u L + F_{2Z} \gamma^u R + F_{3Z} P_b^u L + F_{4Z} P_b^u R + F_{5Z} P_s^u L + F_{6Z} P_s^u R], \quad (2)$$

$$V_\gamma^u = ie [F_{1\gamma} \gamma^u L + F_{2\gamma} \gamma^u R + F_{3\gamma} P_b^u L + F_{4\gamma} P_b^u R + F_{5\gamma} P_s^u L + F_{6\gamma} P_s^u R], \quad (3)$$

其中 $L = \frac{1-\gamma_5}{2}, R = \frac{1+\gamma_5}{2}$. 而 P_b^u 和 P_s^u 分别表示 b 夸克和 s 夸克的动量. 形状因子是:

$$F_{iZ} = \sum_{\xi=t,c} F_{iZ}^\xi, \quad F_{i\gamma} = \sum_{\xi=t,c} F_{i\gamma}^\xi$$

在计算过程中, 由于 CKM 矩阵元 $V_{ud} V_{us}$ 具有很强的限制压低, 忽略了上夸克 u 的贡献, 附录 A 给出了形状因子 F_{iZ}^ξ 和 $F_{i\gamma}^\xi$ 的表达式. 色八重态的 TC 介子的单圈效应对此过程的产生截面表达式为:

$$\sigma = \frac{x}{16\pi s^2} \int_{-1}^1 |M|^2 d(\cos\theta),$$

其中:
$$x = \sqrt{\frac{[s - (m'_b - m_s)^2][s - (m'_b + m_s)^2]}{4}},$$

$$= \bar{u}_s V_Z^u \nu_b \bar{\nu}_e + ie \gamma^u [v_c(1 + \gamma_5) + a_c(1 - \gamma_5)] u_c - \frac{-ig_{\rho\gamma}}{s - m_Z^2} +$$

$$(-ie) \bar{u}_s V_\gamma^u \nu_b \bar{\nu}_e + \gamma^u u_e - \frac{-ig_{\rho\gamma}}{s},$$

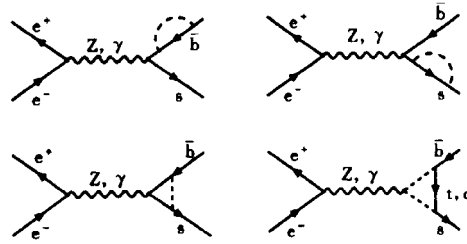


图 1 PGBs 对 $e^+e^- \rightarrow \bar{b}s$ 过程贡献的费曼图
---: TC 介子或 Top 介子.

$$|M|^2 = \frac{1}{4}(M_Z^2 + M_Y^2 + 2\text{Re}M_Z M_Y^*)$$

其次考虑 TOPCMTC 模型的色单态的 TC 介子对此过程的单圈图贡献. 荷电色单态的 TC 介子和普通费米子间耦和形式为^[4]:

$$\frac{i\sqrt{6}V_{u,d_i}}{F_T}\Pi^i \bar{u}_i(m'_{u_i}L - m'_{d_i}R)d_i, \quad (4)$$

色单态的 TC 介子对此过程有贡献的费曼图包括自能图、三角图和箱图. 但是由于相互作用耦合系数与费米子的质量成比例, 箱图的贡献与其他图相比很小, 可以忽略, 故费曼图与图 1 类似. 由方程(1)和方程(4)比较来看, 色单态的 TC 介子贡献中的形状因子 $F_{Z,\gamma}^c, F_{T,\gamma}^c$ 要比色八重态 TC 介子的贡献多一个压低因子 $\frac{1}{18}$, 因此色单态的 TC 介子对散射振幅的贡献和色八重态 TC 介子的相比要小两个量级, 故计算时将色单态的 TC 介子对稀有过程 $e^+e^- \rightarrow \bar{b}s$ 的贡献略去.

最后, 我们考虑 Top 介子对此过程的贡献. 由于在 TC2 理论中顶色相互作用主要与第三代夸克间发生作用, 并且 Top 介子为色单态的 PGBs, 同样忽略箱图的贡献, 费曼图与图 1 相同. 其费曼规则形式如下^[1]:

$$\frac{m_t - m'_{t'}}{\sqrt{2}F_\Pi} [i\bar{t}\gamma_5 t\Pi^0 + \frac{i}{\sqrt{2}}\bar{t}(1 - \gamma_5)b\Pi^+ + \frac{i}{\sqrt{2}}\bar{b}(1 + \gamma_5)t\Pi^-] \quad (5)$$

$$\frac{m_b - m'_{b'}}{\sqrt{2}F_\Pi} [i\bar{b}\gamma_5 b\Pi^0 + \frac{i}{\sqrt{2}}\bar{t}(1 + \gamma_5)b\Pi^+ + \frac{i}{\sqrt{2}}\bar{b}(1 - \gamma_5)t\Pi^-] \quad (6)$$

$$\frac{m_t - m'_{t'}}{\sqrt{2}F_\Pi} [i\Pi^0 (\bar{t}_R c_L U_{L,tc} + \bar{c}_R t_L U_{R,tc}) + i\sqrt{2}\Pi^+ (\bar{t}_R s_L D_{L,ts} + \bar{c}_R b_L U_{R,tc}) + \text{h.c.}] \quad (7)$$

其中 $m'_{t'} = \epsilon \cdot m_t$, $m'_{b'} = \frac{m_b}{m_t} m'_{t'}$ 分别代表由 ETC 相互作用产生的 t 夸克和 b 夸克质量, t 夸克和 b 夸克的质量矩阵元由 ETC 相互作用和顶色相互作用共同产生, 并且顶色相互作用的贡献是主要的, 味改变的耦和形式由方程(7)给出. 其他的费曼规则可以参阅参考文献[6]. 有效顶角形式和方程(2), 方程(3)相似, 不同的地方在于形状因子间的差别, 其具体形式在附录 B 中给出.

3 数值结果和讨论

通过第 2 部分中的有关公式, 可以分别计算 TC 相互作用、顶色相互作用对稀有过程 $e^+e^- \rightarrow \bar{b}s$ 产生截面的贡献. 但是在 TOPCMTC 模型中, TC 相互作用和顶色相互作用同时存在, 二者的贡献不可能单独表现出来, 因此, 物理的结果应是这两部分贡献之和, 即总的产生截面是:

$$\sigma = \sigma(\text{TC}) + \sigma(\text{Topcolor})$$

在数值计算中, 选用的参数如下^[7]:

$$V_{tb} = 0.9992, V_{ts} = 0.9743, V_{ts} = 0.038, V_{cb} = 0.04,$$

$$\alpha_c = \frac{1}{128.8}, s_w^2 = 0.23, m_b = 4.5\text{GeV}, m_c = 1.5\text{GeV},$$

$$m_s = 0.18\text{GeV}, m_z = 91.187\text{GeV}, m_t = 175\text{GeV}.$$

在 e^+e^- 对撞机 LEP II 上, 其质心能量取为 $\sqrt{s} = 200\text{GeV}$, 另外的两个参数取值有一个变化范围, 分别是: $5\text{GeV} \leq m'_t \leq 20\text{GeV}$ 和 $300\text{GeV} \leq m_{\pi'} \leq 600\text{GeV}$.

在图 2 中, 分别给出了 TC 相互作用和顶色相互作用对过程 $e^+e^- \rightarrow b\bar{s}$ 产生截面的贡献随 m'_t 的变化情况(其中 $\sqrt{s} = 200\text{GeV}$, $m_{\pi'} = 500\text{GeV}$, $m_{\eta_1} = 200\text{GeV}$.), 很明显, 当 $m'_t \geq 8\text{GeV}$ 时, TC 介子的贡献占主导地位, 而当 $m'_t \leq 7\text{GeV}$ 时, Top 介子的贡献是主要的. 在图 3 中, 给出了有 TC 介子、Top 介子同时存在的情况下对此过程产生截面的总贡献随 m'_t

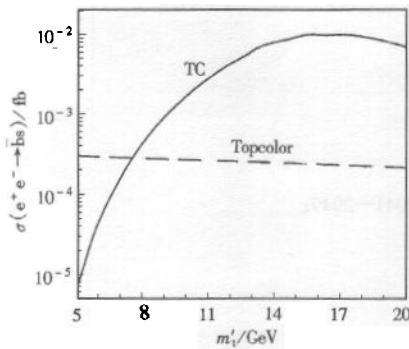


图 2 $e^+e^- \rightarrow b\bar{s}$ 的产生截面随 m'_t 的变化曲线
—: TC 相互作用的贡献, - - -: Topcolor 相互作用的贡献.

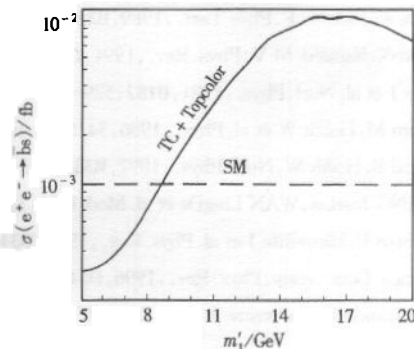


图 3 $e^+e^- \rightarrow b\bar{s}$ 产生截面随 m'_t 的变化曲线
—: TOPMTC 模型的贡献, - - -: SM 的贡献.

的变化趋势(其中 $\sqrt{s} = 200\text{GeV}$, $m_{\pi'} = 500\text{GeV}$, $m_{\eta_1} = 200\text{GeV}$), 并将此结果与 SM 的结果相比较, 从图 3 可以看出, TOPMTC 给出的结果比 SM 预言的结果有提高, 约大一个量级. 并且我们考察了 TOPMTC 模型色八重态 TC 介子的贡献. 图 4 反映的是 TOPMTC 模型对此过程总的散射截面随质心能量 \sqrt{s} 的变化曲线(其中 $m'_t = 15\text{GeV}$, $m_{\eta_1} = 200\text{GeV}$, $m_{\pi'} = 500\text{GeV}$), 以便在不同的对撞机上来寻找此事例, 由于质心能量近似等于规范玻色子 Z_0 质量, 所以在 Z_0 质量附近的产生截面较大.

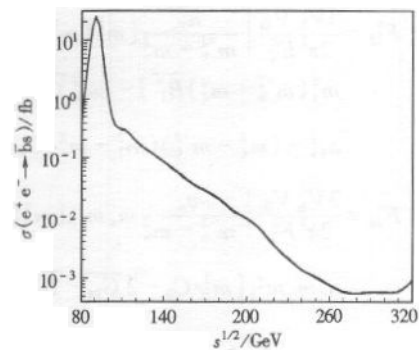


图 4 TOPMTC 模型对过程 $e^+e^- \rightarrow b\bar{s}$ 产生截面的贡献随质心能量 \sqrt{s} 的变化曲线

质心能量 $\sqrt{s} \leq 500\text{GeV}$ 时直线 e^+e^- 对撞机工作 1—2 年的积分亮度^[8]:

$$\int \mathcal{L} dt = 50\text{fb}^{-1}$$

则当 $m'_t = 6\text{GeV}$ 时, $\sigma = 0.376 \times 10^{-3}\text{fb}$, 在 5—10 年内可有 1, 2 个事例, 当 $m'_t = 15\text{GeV}$ 时, $\sigma = 0.106 \times 10^{-1}\text{fb}$, 在 10—20 年内有 5—10 个事例, 显然很难观测到此事例. 另外, B

介子工厂即将运行,我们计算了 KEK($8 \times 3.5 \text{ GeV}$)上此事例截面. 不过,由于其有效碰撞能量不能产生 Z_0 ,在 KEK 上只能通过电磁作用 $e^+ e^- \rightarrow \gamma \rightarrow \bar{b}s$ 而发生. 其最大的产生截面 $\sigma_{\max} = 2.1 \times 10^{-1} \text{ nb}$,和在 LEP II 上的值相比要大 6 个量级,所以,在 B 介子工厂中将很容易观测到此事例.

本文计算了 TOPMTC 预言的 PGBs 对稀有过程 $e^+ e^- \rightarrow \bar{b}s$ 的单圈贡献,结果显示,TC 理论中预言的 PGBs 对此物理过程有较大的贡献,其产生截面比 SM 理论预言值高出一个数量级,此过程对我们探索超出 SM 理论以外的新物理提供了一个很好的例子.

参考文献 (References)

- 1 Hill C H. Phys. Lett. ,1995, **B345**:483—485
- 2 HUANG ChaoShang, WU XiaoHong et al. hep-ph/9902474
- 3 Lane K, Eichten E. Phys. Lett. ,1989, **B222**:274—280;
Lane K, Ramana M V, Phys. Rev. ,1991, **D44**:2678—2700
- 4 Ellis J et al. Nucl. Phys. ,1981, **B182**:529—545
- 5 Bohm M, Hollik W et al. Phys. ,1986, **34**:687—695;
Grzad B, Hollik W. Nucl. Phys. ,1992, **B384**:101—112
- 6 WANG XueLei, WAN LingDe et al. Mod. Phys. Lett. ,1995, **A10**:2041—2049;
Eichten E, Hinchliffe I et al. Phys. Rev. ,1986, **D34**:1547—1566
- 7 Particle Data Group, Phys. Rev. ,1996, **D54**:24, 65—66, 94—97
- 8 Accomando E, Andreazza A et al. DESY97 - 100, hep-ph/9705442:7

附录 A

TOPMTC 理论中 ETC 部分形状因子 $F_{iZ}^{\xi}, F_{iT}^{\xi}$ 的具体表达式

$$\begin{aligned}
 F_{1Z}^{\xi} &= \frac{3V_{\bar{b}s}V_{\bar{c}b}}{2\pi^2 F_T^2} \left\{ \frac{a_s}{m_b'^2 - m_s^2} [m_{\xi}^2(m_s^2 + m_b'^2)(\overline{B_0^*} - \overline{B_0}) + m_b'^2(m_s^2 + m_{\xi}^2)\overline{B_1}] - \right. \\
 &\quad m_s^2(m_b'^2 + m_{\xi}^2)\overline{B_1^*}] - km_{\xi}^2\overline{C_{24}} + v_{\xi}[m_{\xi}^2(m_{\bar{t}t}^2 C_0 - 2\overline{C_{24}}) - \overline{B_0^{\overline{tt}}}] + \\
 &\quad \left. a_{\xi}[-(m_{\xi}^2 - m_b'^2)(m_{\xi}^2 - m_s^2)C_0 - (m_b'^2 - m_s^2)m_{\xi}^2 C_{12} + (m_{\xi}^2 - m_s^2)m_b'^2 C_{11}] \right\}, \\
 F_{2Z}^{\xi} &= \frac{3V_{\bar{b}s}V_{\bar{c}b}}{2\pi^2 F_T^2} \left\{ \frac{v_s}{m_b'^2 - m_s^2} m_s m_b' [m_{\xi}^2(2\overline{B_0^*} - \overline{B_1^*} - 2\overline{B_0} + \overline{B_1}) + m_b'^2\overline{B_1} - m_s^2\overline{B_1^*}] + \right. \\
 &\quad \left. a_{\xi} m_s m_b' [m_{\bar{t}t}^2 C_0 - 2\overline{C_{24}} - \overline{B_0^{\overline{tt}}} + m_s^2 C_{12} + m_b'(C_{11} - C_{12}) - m_{\xi}^2 C_{11}] - km_s m_b' \overline{C_{24}^*} \right\}, \\
 F_{3Z}^{\xi} &= \frac{3V_{\bar{b}s}V_{\bar{c}b}}{2\pi^2 F_T^2} \left\{ 2a_{\xi} m_s [(m_{\xi}^2 - m_b'^2)(C_{12} - C_{11}) + m_b'^2(C_{21} + C_{22} - 2C_{23})] + \right. \\
 &\quad \left. \frac{k}{2} m_s [m_{\xi}^2(C_0^* + C_{11}^* + C_{12}^* - 2C_{22}^* + 2C_{23}^*) + m_b'^2(C_{12}^* + 2C_{22}^*)] + 2v_{\xi} m_s m_{\xi}^2 (C_{23} - C_{22}) \right\}, \\
 F_{4Z}^{\xi} &= \frac{3V_{\bar{b}s}V_{\bar{c}b}}{2\pi^2 F_T^2} \left\{ 2a_{\xi} m_s^2 m_b' (C_{23} - C_{22}) + 2v_{\xi} m_{\xi}^2 m_b' (C_{21} + C_{22} - 2C_{23}) + \right. \\
 &\quad \left. \frac{k}{2} m_b' [m_{\xi}^2(C_0^* + 3C_{12}^* + 2C_{22}^*) + m_s^2(C_{11}^* - C_{12}^* + 2C_{23}^* - 2C_{22}^*)] \right\}, \\
 F_{5Z}^{\xi} &= \frac{3V_{\bar{b}s}V_{\bar{c}b}}{2\pi^2 F_T^2} \left\{ 2a_{\xi} m_s m_b'^2 (C_{22} - C_{23}) - 2v_{\xi} m_s m_{\xi}^2 C_{22} + \frac{k}{2} m_s [m_{\xi}^2(3C_{12}^* - \right.
 \end{aligned}$$

$$3C_{11}^* + 4C_{23}^* - C_0^* - 2C_{21}^* - 2C_{22}^*) + m_b'^2(2C_{22}^* - 2C_{23}^* - C_{12}^*) \Big\},$$

$$F_{6Z}^{\xi} = \frac{3V_{\xi} V_{\bar{b}}}{2\pi^2 F_{\bar{b}}^2} \left\{ 2a_{\xi} m_b' [m_{\xi}^2 C_{12} - m_s^2(C_{12} + C_{22})] + 2v_{\xi} m_b' m_{\xi}^2 (C_{22} - C_{23}) + \right.$$

$$\left. \frac{k}{2} m_b' [m_{\xi}^2 (C_{12}^* + 2C_{22}^* - C_0^* - 2C_{11}^* - 2C_{23}^*) + m_s^2 (C_{12}^* + 4C_{23}^* - C_{11}^* - 2C_{21}^* - 2C_{22}^*)] \right\}.$$

其中有

$$F_{i\gamma}^{\xi} = F_{iZ}^{\xi} \Big|_{(k \rightarrow 1, a_{\xi} = v_{\xi} - \frac{1}{3}, a_s = v_s = \frac{1}{6})},$$

并且有:

$$v_{\xi} = \frac{-s_w^2}{3s_w c_w}, a_{\xi} = \frac{1 - \frac{4}{3}s_w^2}{4s_w c_w}, v_s = \frac{s_w^2}{6s_w c_w}, a_s = \frac{-1 + \frac{2}{3}s_w^2}{4s_w c_w}, k = \frac{1 - 2s_w^2}{2s_w c_w}.$$

以上式子中 m_{π^0} 表示色八重态 TC 介子的质量, 而 m_{ξ} 表示顶夸克 t 和璨夸克 c 的质量. 两点 and 三点函数 B_0, B_1, C_0, C_{ij} 的定义参阅文献[6], 在本文中的具体情况是:

$$\overline{B_i} = \overline{B_i}(m_b', m_{\xi}, m_{\pi^0}) \quad \overline{B_i^*} = \overline{B_i}(m_s, m_{\xi}, m_{\pi^0}) \quad \overline{B_0^{\overline{bc}}} = \overline{B_0}(\sqrt{s}, m_{\xi}, m_{\xi})$$

$$C_{ij} = C_{ij}(m_b', \sqrt{s}, m_{\pi^0}, m_{\xi}, m_{\xi}) \quad C_{ij}^* = C_{ij}(m_s, \sqrt{s}, m_{\xi}, m_{\pi^0}, m_{\pi^0})$$

附录 B

TOPMIC 理论中顶色辅助部分形状因子 $F_{iZ}^{\xi}, F_{i\gamma}^{\xi}$ 的具体表达式

$$F_{1Z}^{\xi} = g \left\{ \frac{a_s}{m_b'^2 - m_s^2} m_b' [m_s^2 \overline{B_1^*} - m_b'^2 \overline{B_1} + m_t'^2 (\overline{B_0} - \overline{B_0^*})] + km_b' \overline{C_{24}^*} + v_t m_b' \right.$$

$$\left. [2\overline{C_{24}} + \overline{B_0^{\overline{bc}}} - m_{\pi_1}^2 C_0 - m_s^2 C_{12} + (m_t'^2 - m_b'^2)(C_{11} - C_{12})] + a_t m_b' m_t'^2 (C_{12} - C_{11}) \right\}$$

$$F_{2Z}^{\xi} = g \left\{ \frac{v_s}{m_b'^2 - m_s^2} m_s [m_b'^2 (\overline{B_1^*} - \overline{B_1}) + m_t'^2 (\overline{B_0} - \overline{B_0^*})] + a_t m_s m_t'^2 C_{12} + \right.$$

$$\left. v_t m_s [m_b'^2 (C_0 + C_{11}) - m_t'^2 (C_0 + C_{12})] \right\},$$

$$F_{3Z}^{\xi} = g \left\{ 2v_t m_s m_b' (C_{22} - C_{23}) - \frac{k}{2} m_s m_b' (C_{11}^* - 2C_{22}^* - C_{12}^* + 2C_{23}^*) \right\},$$

$$F_{4Z}^{\xi} = g \left\{ 2v_t [m_b' (2C_{23} + C_{12} - C_{21} - C_{22} - C_{11}) + m_t'^2 (C_{11} - C_{12})] - \right.$$

$$\left. \frac{k}{2} [m_b'^2 (C_{12}^* + 2C_{22}^*) + m_t'^2 (C_0^* + 2C_{12}^*)] \right\},$$

$$F_{5Z}^{\xi} = g \left\{ 2v_t m_s m_b' (C_{22} + C_{12}) - \frac{k}{2} m_s m_b' (C_{12}^* + 4C_{23}^* - C_{11}^* - 2C_{21}^* - 2C_{22}^*) \right\},$$

$$F_{6Z}^{\xi} = g \left\{ 2[v_t m_b'^2 (C_{23} - C_{22}) - a_t m_t'^2 C_{12}] - \right.$$

$$\left. \frac{k}{2} [m_b'^2 (2C_{22}^* - 2C_{23}^* - C_{12}^*) + m_t'^2 (2C_{12}^* - 2C_{11}^* - C_0^*)] \right\}$$

其中

$$\overline{B_i} = \overline{B_i}(m_b', m_t', m_{\pi_1}), \quad \overline{B_i^*} = \overline{B_i}(m_s, m_t', m_{\pi_1}), \quad \overline{B_0^{\overline{bc}}} = \overline{B_0}(\sqrt{s}, m_t', m_t'),$$

$$C_{ij} = C_{ij}(m_b', \sqrt{s}, m_{\pi_1}, m_t', m_t'), \quad C_{ij}^* = C_{ij}(m_s, \sqrt{s}, m_t', m_{\pi_1}, m_{\pi_1}),$$

$$g = \frac{2m_t' V_{\bar{b}} D_{L, \bar{b}}}{16\pi^2 F_{\bar{b}}^2}, \quad D_{L, \bar{b}} = \frac{1}{2} V_{\bar{b}}.$$

**One Loop Effects to the Process $e^+ e^- \rightarrow \bar{b}s$ in
Topcolor-Assisted Multiscale Technicolor Model***

LU GongRu YUE ChongXing LI WeiBin¹⁾ SUN JunFeng¹⁾

(*Department of Physics, He'nan Normal University, Xingriang 453002, China*)

Abstract We calculated the Pseudo-Goldstone bosons (technipions, top-pions) corrections to the cross-section σ of the process $e^+ e^- \rightarrow \bar{b}s$ in topcolor-assisted multiscale technicolor model at LEP II energy region. Our results show that, with reasonable value of the parameters, the cross-section is one order larger than that predicted by the standard model. We discussed the possibility of detecting this rare event at the "B-factory".

Key words topcolor, technicolor theory, cross-section, one loop effects

Received 16 August 1999, Revised 4 November 1997

* Supported by the National Natural Science Foundation of China and the Excellent Youth Foundation of Henan Scientific Committee

1) E-mail: dphnu@public.zz.ha.cn